

УДК 532.546
DOI: 10.15372/PMTF202315315

МОДЕЛИРОВАНИЕ ДВИЖЕНИЯ РАСТВОРИМОЙ ПРИМЕСИ В ТАЮЩЕМ СНЕГЕ

А. Н. Сибин*,**, А. А. Папин*

* Алтайский государственный университет, Барнаул, Россия

** Новосибирский национальный исследовательский государственный университет,
Новосибирск, Россия

E-mails: sibin_anton@mail.ru, papin@math.asu.ru

На основе уравнений неизотермической двухфазной фильтрации рассматривается задача о движении растворенной соли в тающем снеге. Теплопроводность снега и зависимость температуры замерзания воды от солености верифицированы с помощью известных экспериментальных данных. Численные эксперименты позволили оценить влияние наличия растворенной соли на фазовый переход.

Ключевые слова: многофазная фильтрация, пористая среда, тающий снег, фазовый переход, насыщенность, численное решение

Введение. Талая вода, образующаяся в сезонном снежном покрове в период снеготаяния, вносит большой вклад в формирование весеннего речного водотока в северных странах. В процессе снеготаяния различные химические примеси и соли, которые были накоплены в снежном покрове в зимний сезон, поступают в реку и почву совместно с поверхностным и подземным стоками талой воды соответственно [1]. Количество загрязнений и время, за которое они вымываются, зависят от динамики жидкости в снежном покрове. Например, техническая соль широко используется в качестве противогололедного средства. Однако интенсивное использование соли вызывает ряд экологических проблем, поскольку она распределяется непосредственно на поверхности дорожного покрытия до выпадения снега и легко смывается талой водой. Для уменьшения экологического ущерба и замедления высвобождения соли используются асфальтные смеси с солью. В работе [2] проведено экспериментальное исследование нескольких дорожных смесей с различным содержанием соли и показана их противогололедная эффективность, но математические модели, оценивающие эффективность снеготаяния и экологический ущерб, не были предложены.

Существует большое количество эмпирических моделей, описывающих снежный покров в целом без учета пористой структуры снега. В то же время результаты наблюдений и полевых исследований свидетельствуют о неравномерном выделении органических загрязнителей из снега, что обусловлено неравномерным распределением насыщенности

Работа выполнена в рамках государственного задания Министерства науки и высшего образования РФ по теме “Современные методы гидродинамики для задач природопользования, индустриальных систем и полярной механики” (FZMW-2020-0008), а также в рамках совместного проекта Совета по научно-техническим исследованиям Турции (TUBITAK) и Российского фонда фундаментальных исследований (код проекта 20-58-46009).

примеси в объеме снежного покрова [3]. Большинство эмпирических моделей являются одномерными балансовыми моделями, не позволяющими вычислять скорость фильтрации жидкости, а модели, с помощью которых можно вычислить скорость фильтрации жидкости, обычно не учитывают фазовые переходы или применимы только для специфических режимов движения воды в снежном покрове. В настоящее время исследования балансовых моделей сосредоточены на учете дополнительных факторов, вносящих изменения в снежный покров, таких как выпадение осадков в виде дождя на уже сформированный снежный покров, промерзший и непромерзший грунт, наличие нескольких слоев снега. В работе [3] предложена модель, описывающая перенос органических веществ в многослойном снежном покрове. Учитываются такие факторы, как толщина снежного покрова, перенос загрязняющих веществ талой водой, а также скорость выхода твердых химических веществ на поверхность снежного покрова. Предполагается однородность снежного покрова, а также постоянство физических параметров.

Многомерные модели, в отличие от одномерных, оценивающих величину потока жидкости только относительно вертикального уровня, позволяют вычислить распределение потока жидкости в объеме пористого снега. В работе [4] предложена двумерная модель тепломассопереноса в тающем снеге, учитывающая повторное замораживание талой воды внутри снежного покрова. Предложенный численный метод позволяет получить более точную оценку поверхностного стока по сравнению с оценками, полученными в рамках одномерных моделей. Однако предлагаемая модель не в полной мере учитывает фазовые переходы и деформацию ледового скелета снега (движение льда). Переход жидкости в лед уменьшает пористость снега, а сублимация, наоборот, увеличивает ее, что существенно влияет на траектории движения жидкости и загрязняющих веществ в снежном покрове.

Основы теории движения воды и воздуха в тающем снеге изложены в работе [5], в которой на основе классической модели двухфазной фильтрации исследовалось движение воды в снеге с заданной постоянной пористостью и без учета фазовых переходов. В работе [6] снежный покров рассматривается как трехфазная среда (вода, воздух, лед). Приведены эмпирические зависимости для капиллярного скачка (вода — воздух) и эмпирические формулы для коэффициента проводимости снега. Однако в [6] не учитывается движение воздуха и существенно упрощено уравнение для температуры. В результате трехфазная модель сводится к уравнению для температуры и уравнению для объемной концентрации водной фазы.

В работе [7] построено автомодельное решение системы уравнений двухфазной фильтрации при естественных граничных условиях. В работах [8, 9] проведены численные расчеты одномерных задач тепломассопереноса, исследовано изменение пористости и водонасыщенности снега. В [10] приведены постановки задач о движении воды и воздуха в тающем снеге с учетом фазовых переходов и деформации ледового скелета и о распределении водного стока тающего снега между грунтовыми и поверхностными водами. В [7–10] исследования проводились в предположении, что пористость является заданной функцией температуры.

В данной работе используется более общий подход, развитый в работах [11, 12], в которых проведена верификация математической модели по экспериментальным данным [13]. Это позволяет учесть влияние растворенной соли на термодинамические характеристики снега.

Целью настоящей работы является моделирование движения растворенной соли в тающем снеге с учетом фазовых переходов, зависящих от солености воды. Разработан алгоритм численного решения одномерной задачи и проведены соответствующие расчеты.

1. Математическая модель. Будем рассматривать тающий снег как сплошную среду, состоящую из воды ($i = 1$), воздуха ($i = 2$) и льда ($i = 3$), представляющую собой твердый пористый скелет. Предполагается, что в воде присутствует только растворенная примесь с концентрацией σ , фазовые переходы (выпадение в осадок и растворение) не учитываются. Фильтрация воды и воздуха в пористом ледовом скелете описывается уравнениями сохранения массы для каждой фазы с учетом фазовых переходов, уравнениями двухфазной фильтрации и уравнением теплового баланса для трехфазной среды. Для описания движения консервативной примеси (соли) в тающем снеге используется уравнение конвективной диффузии.

Уравнения баланса массы для каждой фазы имеют вид

$$\frac{\partial \rho_i}{\partial t} + \operatorname{div}(\rho_i \mathbf{u}_i) = \sum_{j=1}^3 I_{ji}, \quad i = 1, 2, 3, \quad I_{ji} = -I_{ij}, \quad \sum_{i,j=1}^3 I_{ij} = 0. \quad (1)$$

Здесь \mathbf{u}_i — скорость i -й фазы; ρ_i — приведенная плотность, связанная с истинной плотностью ρ_i^0 и объемной концентрацией α_i соотношением $\rho_i = \alpha_i \rho_i^0$ (условие $\sum_{i=1}^3 \alpha_i = 1$ является следствием определения ρ_i); I_{ji} — интенсивность перехода массы из j -й в i -ю составляющую в единице объема в единицу времени; $\alpha_1 = \phi s_1$; $\alpha_2 = \phi s_2$; $\alpha_3 = 1 - \phi$; s_1, s_2 — насыщенности воды и воздуха ($s_1 + s_2 = 1$); ϕ — пористость снега. Процессами сублимации и испарения пренебрегается ($I_{12} = 0, I_{23} = 0$), интенсивность фазового перехода вода — лед является заданной функцией $I_{13} = I(\phi, \theta, s_1)$. Далее будем считать, что фильтрация воды и воздуха подчиняется закону Дарси и частицы льда неподвижны ($\mathbf{u}_3 = 0$), структура льда как сплошной среды не уточняется [9]. Тогда уравнения сохранения импульса принимают вид

$$\phi s_i \mathbf{u}_i = -K_0 \frac{\bar{k}_{0i}}{\mu_i} (\nabla p_i - \rho_i^0 \mathbf{g}), \quad i = 1, 2, \quad p_2 - p_1 = p_c(s_1, \theta), \quad (2)$$

где $K_0(\phi)$ — коэффициент проницаемости пористой среды; \bar{k}_{0i} — фазовые проницаемости ($\bar{k}_{0i} = \bar{k}_{0i}(s_i) \geq 0, \bar{k}_{0i}|_{s_i=0} = 0$); μ_i — динамические вязкости; p_i — давления фаз; p_c — капиллярное давление; θ — температура снега; \mathbf{g} — ускорение свободного падения.

Предполагается, что температуры всех трех фаз совпадают, т. е. $\theta_i = \theta$ ($i = 1, 2, 3$). Уравнение баланса тепла в снежном покрове имеет вид

$$\left(\sum_{i=1}^3 \rho_i^0 c_i \alpha_i \right) \frac{\partial \theta}{\partial t} + \left(\sum_{i=1}^3 \rho_i^0 \alpha_i c_i \mathbf{u}_i \right) \nabla \theta = \operatorname{div}(\lambda_c \nabla \theta) - \nu I. \quad (3)$$

Здесь c_i — удельная теплоемкость i -й фазы при постоянном объеме; ν — удельная теплота плавления льда; λ_c — теплопроводность снега.

Движение растворенной примеси описывается уравнением конвективной диффузии [14]

$$\frac{\partial}{\partial t} (\phi s_1 \sigma) + \operatorname{div}(\sigma \mathbf{v}_1 - D \nabla \sigma) = 0. \quad (4)$$

Здесь σ — концентрация примеси; \mathbf{v}_1 — скорость фильтрации воды ($\mathbf{v}_i = \phi s_i \mathbf{u}_i$). В данной работе для коэффициента диффузии D используется зависимость [15]

$$D = D_0(1 + 0,029(\theta - 293,15)),$$

где $D_0 = 1,39 \cdot 10^{-9} \text{ м}^2/\text{с}$.

Система (1)–(4) дополняется соотношениями $\rho_i^0 = \text{const} > 0$ ($i = 1, 2, 3$), $\rho_2^0 < \rho_3^0 < \rho_1^0$.

Для моделирования интенсивности фазового перехода лед — вода, как правило, используется методология решения задачи Стефана, т. е. предполагается, что существует межфазная граница, на которой при определенной температуре происходит скачкообразный переход льда в воду. При таком подходе не требуется задавать интенсивность фазового перехода лед — вода. Предположение о существовании в системе четко выраженной границы фазового перехода справедливо не всегда. Так, накопление примеси перед фронтом затвердевания, обусловленное ее вытеснением при увеличении объема твердой фазы, приводит к возникновению перед границей жидкость — твердая фаза зоны концентрационного переохлаждения.

Согласно другому подходу к описанию процесса таяния снега фазовый переход лед — вода происходит во всей толще снежно-ледового покрова и для описания процесса распространения тепла нужно использовать уравнение вида (3) с измененной соответствующим образом правой частью. Однако следует учитывать, что наличие примеси может приводить к изменению температуры замерзания воды. Близкой к рассматриваемой задаче является задача о тепломассопереносе в протаивающих (промерзающих) грунтах [16]. Имеется ряд экспериментальных данных о зависимости концентраций льда и воды в пористой среде от температуры [11, 13]. Используемые в данной работе зависимости для интенсивности фазового перехода лед — вода предложены в работах [11, 12, 16]:

$$I = \begin{cases} -\lambda_1 \phi \theta s, & \theta < \theta^-, \\ 0, & \theta^- \leq \theta \leq \theta^+, \\ \lambda_2 (1 - \phi)^2 e^{\beta(\theta - \theta^+)}, & \theta > \theta^+. \end{cases} \quad (5)$$

Здесь $s \equiv s_1$ — водонасыщенность ($1 - s = s_2$); θ^+ — температура плавления льда; $\theta^-(\sigma)$ — температура замерзания воды; β , λ_1 , λ_2 — размерные постоянные, характеризующие интенсивность фазового перехода ($[\beta] = 1/\text{К}$, $[\lambda_1] = \text{кг}/(\text{м}^3 \cdot \text{с} \cdot \text{К})$, $[\lambda_2] = \text{кг}/(\text{м}^3 \cdot \text{с})$).

Рассматривается следующая задача. В комнате с низкой температурой воздуха расположена контейнер со снегом. Снег полагается однородным, рассматривается движение воды и воздуха в снеге. На верхней границе задаются температура, давление воздуха, концентрация растворенной соли, предполагается отсутствие ветра в комнате ($v_2 = 0$). На нижней границе известна температура и ставятся условия непротекания для всех фаз. В начальный момент времени известны водонасыщенность, температура, концентрация растворенной примеси и пористость.

2. Алгоритм численного решения одномерной задачи. Система (1)–(4) сводится к пяти уравнениям для s , ϕ , θ , σ , p [11], где функция p (приведенное давление) задается следующим образом:

$$p = p_2 + \int_s^1 \frac{k_{01}(\xi)}{k(\xi)} \frac{\partial p_c}{\partial \xi} d\xi. \quad (6)$$

Перейдем к безразмерным переменным для одномерного случая (ось y направлена вниз, $y \in [0, l]$, $t \in [0, t_0]$):

$$\tilde{y} = \frac{y}{y_{sc}}, \quad \tilde{t} = \frac{t}{t_{sc}}, \quad \tilde{p} = \frac{p}{p_{sc}}, \quad \tilde{v} = \frac{v}{v_{sc}}, \quad \tilde{\theta} = \frac{\theta}{\theta_{sc}}.$$

Здесь $y_{sc} = l$; $p_{sc} = \rho_1^0 g l$; температура θ_{sc} принимается равной температуре плавления льда; $v_{sc} = B \rho_1^0 g / \mu_1$; характерное время определяется соотношением $t_{sc} = y_{sc} / v_{sc}$. Тогда область изменения y есть единичный отрезок $[0, 1]$, а система уравнений (1)–(4) в одномерном случае принимает следующий вид [11]:

$$\phi \frac{\partial s}{\partial \tilde{t}} = \frac{\partial}{\partial \tilde{y}} \left(\tilde{a} \frac{\partial s}{\partial \tilde{y}} + b \tilde{v} + \tilde{F} \right) + (1 - s) \frac{\partial \phi}{\partial \tilde{t}},$$

$$\frac{\partial}{\partial \tilde{y}} \left(\tilde{K} \frac{\partial \tilde{p}}{\partial \tilde{y}} + \tilde{f} \right) = \left(1 - \frac{\rho_3^0}{\rho_1^0} \right) \frac{\partial \phi}{\partial \tilde{t}}, \quad \tilde{Q} \frac{\partial \tilde{\theta}}{\partial \tilde{y}} = \frac{\partial}{\partial \tilde{y}} \left(\tilde{\lambda}_c \frac{\partial \tilde{\theta}}{\partial \tilde{y}} \right) + \tilde{V} \frac{\partial \tilde{\theta}}{\partial \tilde{y}} - \chi \tilde{I},$$

$$\frac{\partial \phi}{\partial \tilde{t}} = \tilde{I}, \quad \phi s \frac{\partial \tilde{\sigma}}{\partial \tilde{t}} - \frac{\partial}{\partial \tilde{y}} \left(\tilde{D} \frac{\partial \tilde{\sigma}}{\partial \tilde{y}} \right) + \tilde{v}_1 \frac{\partial \tilde{\sigma}}{\partial \tilde{y}} = -\tilde{\sigma} \frac{\partial \tilde{v}_1}{\partial \tilde{y}} - \tilde{\sigma} s \frac{\partial \phi}{\partial \tilde{t}} - \tilde{\sigma} \phi \frac{\partial s}{\partial \tilde{t}}.$$

Здесь $\chi = \nu / (c_3 \theta_{sc})$ — безразмерная постоянная,

$$\tilde{v} = \tilde{v}_1 + \tilde{v}_2 = -\tilde{K} \frac{\partial \tilde{p}}{\partial \tilde{y}} - \tilde{f},$$

$$\tilde{K} = \tilde{K}_0 \tilde{k}, \quad \tilde{v}_2 = \tilde{a} \frac{\partial s}{\partial \tilde{y}} + b \tilde{v} + \tilde{F}, \quad b(s) = \frac{\bar{k}_{02}}{\mu \bar{k}_{01} + \bar{k}_{02}}, \quad \mu = \frac{\mu_2}{\mu_1},$$

$$\tilde{a}(s, \phi) = -\tilde{K}_0 \frac{\bar{k}_{01} \bar{k}_{02}}{\mu \bar{k}_{01} + \bar{k}_{02}} \frac{\partial \tilde{p}_c}{\partial s}, \quad \tilde{F} = \tilde{K}_0 \frac{\bar{k}_{01} \bar{k}_{02} (\rho_2^0 / \rho_1^0 - 1)}{\mu \bar{k}_{01} + \bar{k}_{02}}, \quad \tilde{K}_0 = \frac{B \rho_1^0 g}{v_{sc} \mu_1} \frac{\phi^3}{(1 - \phi)^2},$$

$$\tilde{f} = -\tilde{K}_0 \left(\bar{k}_{01} + \frac{\rho_2^0}{\rho_1^0 \mu} \bar{k}_{02} \right), \quad \tilde{Q} = \frac{\rho_1^0 c_1}{\rho_3^0 c_3} s \phi + \frac{c_2 \rho_2^0}{c_3 \rho_3^0} (1 - s) \phi + 1 - \phi, \quad \tilde{k} = \bar{k}_{01} + \frac{\bar{k}_{02}}{\mu},$$

$$\tilde{\lambda}_c = \frac{a_{sc} t_{sc}}{y_{sc}^2 \rho_3^0 c_3} \left(1 + \frac{b_c}{a_c} \rho_c^2 \right), \quad \tilde{V} = -\frac{\rho_1^0 c_1}{\rho_3^0 c_3} \tilde{v}_1 - \frac{\rho_2^0 c_2}{\rho_3^0 c_3} \tilde{v}_2,$$

$$\tilde{I} = \frac{t_{sc}}{\rho_3^0} I, \quad \tilde{D} = \frac{t_{sc} D}{y_{sc}^2}.$$

Опуская символ “~”, получаем

$$\phi \frac{\partial s}{\partial t} = \frac{\partial}{\partial y} \left(a(s, \phi) \frac{\partial s}{\partial y} + b(s) v + F(s, \phi) \right) + (1 - s) \frac{\partial \phi}{\partial t}; \quad (7)$$

$$\frac{\partial}{\partial y} \left(K(s, \phi) \frac{\partial p}{\partial y} + f(s, \phi) \right) = \left(1 - \frac{\rho_3^0}{\rho_1^0} \right) \frac{\partial \phi}{\partial t}; \quad (8)$$

$$Q(s, \theta) \frac{\partial \theta}{\partial t} = \frac{\partial}{\partial y} \left(\lambda_c \frac{\partial \theta}{\partial y} \right) + V(v_1, v_2) \frac{\partial \theta}{\partial y} - \chi I; \quad (9)$$

$$\frac{\partial \phi}{\partial t} = I; \quad (10)$$

$$\phi s \frac{\partial \sigma}{\partial t} - \frac{\partial}{\partial y} \left(D \frac{\partial \sigma}{\partial y} \right) + v_1 \frac{\partial \sigma}{\partial y} = -\sigma \frac{\partial v_1}{\partial y} - \sigma s \frac{\partial \phi}{\partial t} - \sigma \phi \frac{\partial s}{\partial t}. \quad (11)$$

Следует отметить, что v является искомой функцией и определяется при решении задачи [11].

В качестве начала отсчета выбрана поверхность снежного покрова, ось y направлена вниз ($y \in [0, l]$). Начальные и граничные условия задавались в виде

$$s(x, 0) = s_0(x), \quad \theta(x, 0) = \theta_0(x), \quad \sigma(x, 0) = \sigma_0(x), \quad \phi(x, 0) = \phi_0(x); \quad (12)$$

$$p_2(0, t) = p_a, \quad \theta(0, t) = \theta^*(t), \quad \sigma(0, t) = \sigma^*(t) \quad (13)$$

(p_a — атмосферное давление). Из условия $v_2|_{y=0} = 0$ (предполагается отсутствие ветра в комнате) следует условие для водонасыщенности

$$a \frac{\partial s}{\partial y} (0, t) = -F - b(s) v_1. \quad (14)$$

Используя (2), (6), получаем граничное условие для приведенного давления

$$p(0, t) = p_a + \int_{s(0, t)}^1 \frac{k_{01}(\xi)}{k(\xi)} \frac{\partial p_c}{\partial \xi} d\xi. \quad (15)$$

На нижней границе задавались температура $\theta(l, t) = \theta_l(t)$ и условия непротекания для воды, воздуха и растворенной соли. Из представления для суммарной скорости при $v|_{y=l} = 0$ получаем условие для приведенного давления $(\partial p/\partial y)(l, t) = -f/K$. Для водонасыщенности при $v_2|_{y=l} = 0$ выполнено условие

$$a \frac{\partial s}{\partial y}(l, t) = -F. \quad (16)$$

Для концентрации растворенной соли аналогично получаем $(\partial \sigma / \partial y)(l, t) = 0$.

Введем сетку с распределенными узлами $y_i = ih$, $t_n = n\tau$ ($i = 0, \dots, N$; $n = 0, \dots, T$; h — шаг по пространственной координате; τ — шаг по времени). Уравнение (7) аппроксимировалось на основе разностной схемы для модели Маскета — Леверетта с использованием направленной разности для конвективного слагаемого [17]. Разностная схема первого порядка точности по пространственной координате и времени имеет вид

$$\begin{aligned} \phi_i^n \frac{s_i^{n+1} - s_i^n}{\tau} &= a_{i+1/2}^n \frac{s_{i+1}^{n+1} - s_i^{n+1}}{h^2} - a_{i-1/2}^n \frac{s_i^{n+1} - s_{i-1}^{n+1}}{h^2} + \left(1 - s_i^n + b(s_i^n) - b(s_i^n) \frac{\rho_3^0}{\rho_1^0}\right) I_i^n + \\ &+ \frac{(|G_i^n| + G_i^n)s_{i+1}^{n+1} - 2|G_i^n|s_i^{n+1} + (|G_i^n| - G_i^n)s_{i-1}^{n+1}}{2h} + F_{\phi i}^n \frac{\phi_{i+1}^n - \phi_{i-1}^n}{2h}. \end{aligned} \quad (17)$$

Здесь

$$\begin{aligned} a_{i-1/2}^n &= \frac{2a(s_{i-1}^n, \phi_{i-1}^n)a(s_i^n, \phi_i^n)}{a(s_{i-1}^n, \phi_{i-1}^n) + a(s_i^n, \phi_i^n)}, & a_{i+1/2}^n &= \frac{2a(s_{i+1}^n, \phi_{i+1}^n)a(s_i^n, \phi_i^n)}{a(s_{i+1}^n, \phi_{i+1}^n) + a(s_i^n, \phi_i^n)}, \\ F_{s i}^n &= \frac{\partial F}{\partial s}(s_i^n, \phi_i^n), & F_{\phi i}^n &= \frac{\partial F}{\partial \phi}(s_i^n, \phi_i^n), & G_i^n &= \frac{\partial F}{\partial s}(s_i^n, \phi_i^n) + v_i^n \frac{\partial b}{\partial s}(s_i^n), \\ i &= 1, \dots, N-1, & \tau &= 0, \dots, T-1. \end{aligned} \quad (18)$$

Уравнение (8) аппроксимируется неявной схемой второго порядка точности. В результате получаем следующую систему разностных уравнений:

$$\begin{aligned} K_{i+1/2}^n \frac{p_{i+1}^n - p_i^n}{h^2} - K_{i-1/2}^n \frac{p_i^n - p_{i-1}^n}{h^2} + f_{s i}^n \frac{s_{i+1}^n - s_{i-1}^n}{2h} + \\ + f_{\phi i}^n \frac{\phi_{i+1}^n - \phi_{i-1}^n}{2h} = \left(1 - \frac{\rho_3^0}{\rho_1^0}\right) I_i^n. \end{aligned} \quad (19)$$

При аппроксимации уравнений для температуры (9) и концентрации примеси (11) используется направленная разность для конвективных слагаемых. Разностная схема первого порядка по пространственной переменной и времени имеет вид

$$\begin{aligned} Q(s_i^n, \phi_i^n) \frac{\theta_i^{n+1} - \theta_i^n}{\tau} &= \frac{1}{h^2} (\lambda_{ci+1/2}^n (\theta_{i+1}^{n+1} - \theta_i^{n+1}) - \lambda_{ci-1/2}^n (\theta_i^{n+1} - \theta_{i-1}^{n+1})) + \\ &+ \frac{(|V_i^n| + V_i^n)\theta_{i+1}^{n+1} - 2|V_i^n|\theta_i^{n+1} + (|V_i^n| - V_i^n)\theta_{i-1}^{n+1}}{2h} - \chi I_i^n; \end{aligned} \quad (20)$$

$$\begin{aligned}
& \phi_i^n s_i^n \frac{\sigma_i^{n+1} - \sigma_i^n}{\tau} - D_{i+1/2}^n \frac{\sigma_{i+1}^{n+1} - \sigma_i^{n+1}}{h^2} + D_{i-1/2}^n \frac{\sigma_i^{n+1} - \sigma_{i-1}^{n+1}}{h^2} + \\
& + \frac{(|v_{1i}^n| + v_{1i}^n) \sigma_{i+1}^{n+1} - 2|v_{1i}^n| \sigma_i^{n+1} + (|v_{1i}^n| - v_{1i}^n) \sigma_{i-1}^{n+1}}{2h} = \\
& = -\sigma_i^n \frac{v_{1i+1}^n - v_{1i-1}^n}{2h} - \sigma_i^n s_i^n \frac{\phi_i^{n+1} - \phi_i^n}{\tau} - \sigma_i^n \phi_i^n \frac{s_i^{n+1} - s_i^n}{\tau}. \quad (21)
\end{aligned}$$

Для аппроксимации граничных условий уравнения для водонасыщенности использовался подход, предложенный в работе [18]. Предполагается, что уравнение (7) справедливо также на границах $x = 0$ и $x = l$. Рассмотрим границу $x = 0$. Используя уравнение (7), получаем разностную аппроксимацию граничного условия (14) со вторым порядком точности

$$a_{1/2}^n \frac{s_1^{n+1} - s_0^{n+1}}{h} = -F(s_0^n, \phi_0^n) - b(s_0^n)(v_1)_0^n + \frac{h}{2} B, \quad (22)$$

где $a_{1/2}$ определяется по формуле (18),

$$B = \phi_0^n \frac{s_0^{n+1} - s_0^n}{\tau} - (1 - s_0^n) I_0^n - \frac{\partial F}{\partial s} \frac{s_1^{n+1} - s_0^{n+1}}{h} - \frac{\partial F}{\partial \phi} I_0^n.$$

Аналогично строится разностная аппроксимация для краевого условия (16). Остальные краевые условия второго рода аппроксимируются с первым порядком точности.

Системы линейных алгебраических уравнений (17)–(22), полученные в результате аппроксимации уравнений (7)–(11) и граничных условий (12)–(16), решаются методом прогонки [19].

Уравнение (10) аппроксимируется неявной схемой Рунге — Кутты второго порядка точности, причем найденное на первом этапе значение

$$\tilde{\phi}_i^{n+1} = \phi_i^n + \tau I_i^n \quad (23)$$

уточняется затем следующим образом:

$$\phi_i^{n+1} = \phi_i^n + \tau \frac{I(\phi_i^n, s_i^n) + I(\tilde{\phi}_i^n, s_i^n)}{2}. \quad (24)$$

Здесь

$$\begin{aligned}
K_{i-1/2}^n &= \frac{2K(\phi_{i-1}^n, s_{i-1}^n)K(\phi_i^n, s_i^n)}{K(\phi_{i-1}^n, s_{i-1}^n) + K(\phi_i^n, s_i^n)}, & K_{i+1/2}^n &= \frac{2K(\phi_{i+1}^n, s_{i+1}^n)K(\phi_i^n, s_i^n)}{K(\phi_{i+1}^n, s_{i+1}^n) + K(\phi_i^n, s_i^n)}, \\
\lambda_{ci-1/2}^n &= \frac{2\lambda_c(\phi_{i-1}^n, s_{i-1}^n)\lambda_c(\phi_i^n, s_i^n)}{\lambda_c(\phi_{i-1}^n, s_{i-1}^n) + \lambda_c(\phi_i^n, s_i^n)}, & \lambda_{ci+1/2}^n &= \frac{2\lambda_c(\phi_{i+1}^n, s_{i+1}^n)\lambda_c(\phi_i^n, s_i^n)}{\lambda_c(\phi_{i+1}^n, s_{i+1}^n) + \lambda_c(\phi_i^n, s_i^n)}, \\
f_{si}^n &= \frac{\partial f}{\partial s}(s_i^n, \phi_i^n), & f_{\phi i}^n &= \frac{\partial f}{\partial \phi}(s_i^n, \phi_i^n), \\
D_{i-1/2}^n &= \frac{2D(v_{1i-1}^n)D(v_{1i}^n)}{D(v_{1i-1}^n) + D(v_{1i}^n)}, & D_{i+1/2}^n &= \frac{2D(v_{1i+1}^n)D(v_{1i}^n)}{D(v_{1i+1}^n) + D(v_{1i}^n)}, \\
i &= 1, \dots, N-1, & \tau &= 0, \dots, T-1.
\end{aligned}$$

Используется следующий алгоритм численного решения начально-краевой задачи. С помощью начального значения пористости ϕ_i^0 , температуры θ_i^0 и концентрации s_i^0 находим начальное распределение приведенного давления p_i^0 ($i = 0, \dots, N$) из уравнения (19).

Используя найденное давление, определяем скорость фильтрации v_i^0 . Из равенства (20) получаем температуру θ_i^1 на следующем шаге по времени. Из равенства (23) находим пористость снега ϕ_i^1 на следующем шаге по времени. Из уравнения (17) определяем концентрацию воды s_i^1 . Рассчитываем давление на следующем шаге по времени. Используя найденные значения искомых функций $\phi_i^1, s_i^1, p_i^1, \theta_i^1$, выполняем коррекцию значения пористости на первом шаге по времени с помощью формулы (24). С использованием начального значения концентрации примеси σ_i^0 , найденных значений скорости фильтрации и водонасыщенности из уравнения (21) получаем распределение концентрации примеси σ_i^1 в тающем снеге. Повторяя данный алгоритм для следующих шагов по времени, вычисляем значения искомых функций на всем временном интервале.

3. Численные эксперименты. В численных расчетах использовались следующие значения модельных параметров: $p_2(0, t) = 101$ кПа, $l = 0,25$ м, $g = 9,8$ м/с², $k_{0i} = s_i^2$ при $0 \leq s \leq 1$, $k_{0i} = 0$ при $s_i \leq 0$, $k_{0i} = 1$ при $s_i \geq 1$, $\rho_1^0 = 10^3$ кг/м³, $\rho_2^0 = 1,292$ кг/м³, $\rho_3^0 = 916,2$ кг/м³, $t_0 = 4000$ с, $\mu_1 = 2 \cdot 10^{-3}$ кг/(м · с), $\mu_2 = 2 \cdot 10^{-5}$ кг/(м · с), $\nu = 333,8$ Дж/г, $c_1 = 4,18$ Дж/(г · К), $c_2 = 0,838$ Дж/(г · К), $c_3 = 2,06$ Дж/(г · К).

При численном исследовании системы дифференциальных уравнений (7)–(11) для капиллярного давления использовалась зависимость [5, 6]

$$p_c = \gamma(s^{-1/m} - 1)^{1/n},$$

где γ — размерная постоянная, Па; m, n — заданные постоянные (в численных расчетах $\gamma = 0,02$ Па, $m = n = 1$ [5. С. 374]).

Коэффициент проницаемости определяется зависимостью $K_0 = b\phi^m$ (значения параметров b и m получены при анализе экспериментальных данных работы [13]).

Для определения интенсивности фазового перехода использовалась зависимость (5) при следующих значениях постоянных: $\beta = 1$ К⁻¹, $\lambda_1 = 10^{-3}$ кг/(м³ · с · К), $\lambda_2 = 3 \times 10^{-3}$ кг/(м³ · с). Эти параметры определены в работе [11] путем подбора в ходе решения задачи и сопоставления результатов моделирования и экспериментальных данных.

В работе [20. С. 63] теплопроводность снега λ_c определяется на основе теории теплопроводности многокомпонентных систем и задается следующей зависимостью:

$$\lambda_c = (\lambda_a\varphi + \lambda_i(1 - \varphi)\beta_c)/(\varphi + (1 - \varphi)\beta_c).$$

Здесь $\varphi = 1 - \rho_c/\rho_3^0$; β_c — безразмерный параметр (в численных расчетах $\beta_c = 0,21$); λ_a , λ_i — теплопроводность воздуха и льда соответственно.

Существенным является учет зависимости температуры замерзания θ^- от солености воды $\theta^- = -\gamma\sigma$, где постоянная $\gamma = 55 \cdot 10^{-6}$ °С. Эмпирическая зависимость проверена с использованием экспериментальных данных [21].

Для определения влияния растворенной соли в фильтрующейся воде на фазовый переход проведено два численных эксперимента: 1) на поверхности снега отсутствует слой соли ($\sigma(y, t) = 0$); 2) на поверхности снега имеется слой соленой воды толщиной 2 см (рис. 1–4).

На верхней гранише ($y = 0$) температура в начальный момент времени составляла -1 °С и затем линейно возрастала до 3 °С, задавались граничные условия (13)–(15), при этом концентрация соли в воде полагалась постоянной: $\sigma(0, t) = 35\%$. На нижней гранише поддерживалась отрицательная температура $T = -1$ °С. На гранише рассматриваемой области $y = l$ задавалось условие непротекания (16).

В начальный момент времени пористость полагалась постоянной: $\phi(y, 0) = 0,3$, а водонасыщенность задавалась равной $s(x, 0) = 0,1$.

При отрицательной температуре в первом численном эксперименте пористость уменьшается (при $t = 0 \div 1000$ с), вода в снеге замерзает, водонасыщенность уменьшается (см.

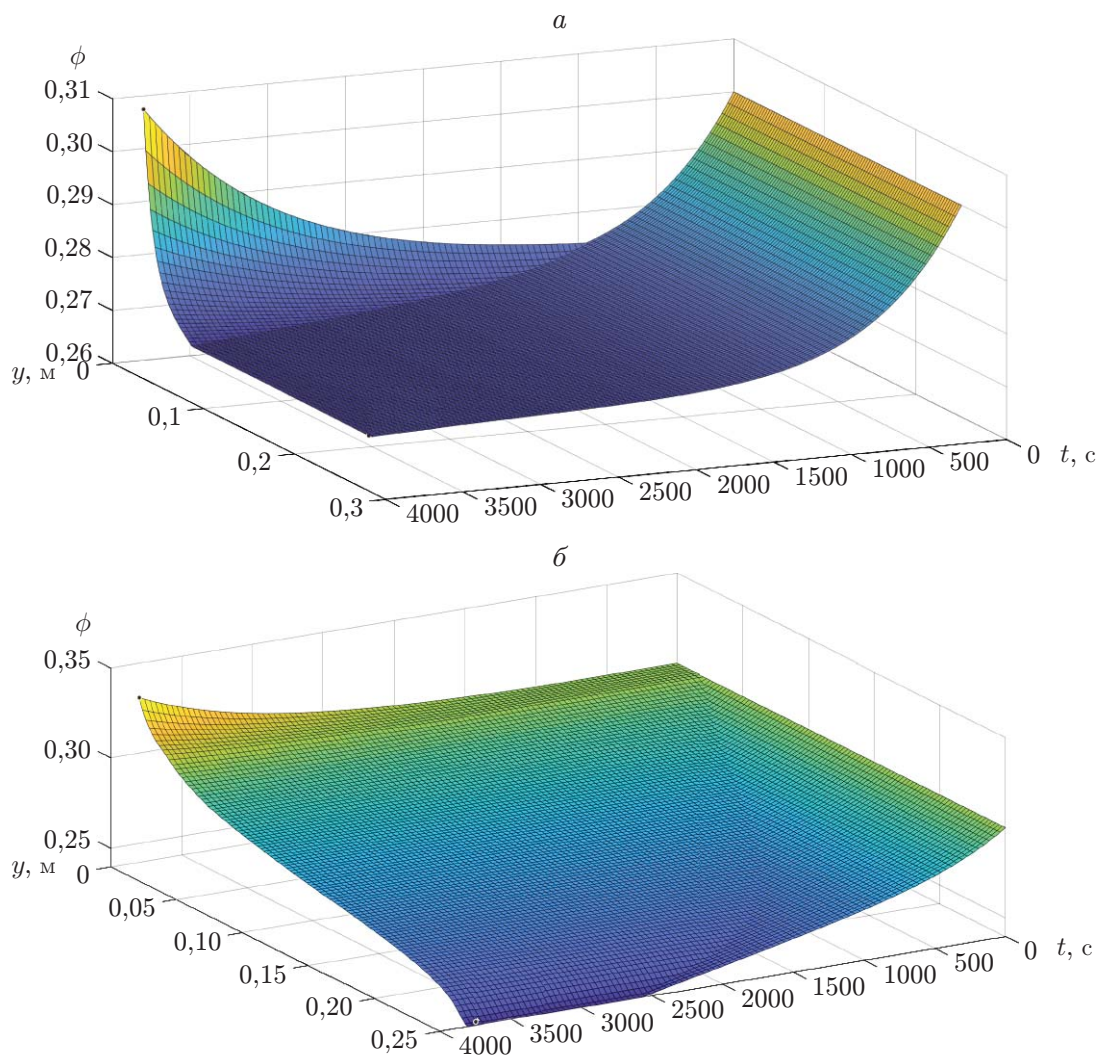


Рис. 1. Распределения пористости в слое снега, полученные в численных эксперименте 1 (а) и эксперименте 2 (б)

рис. 2,а), но при увеличении температуры на поверхности снега верхний слой начинает таять, образующаяся при этом вода фильтруется в нижние слои и продолжает замерзать (см. рис. 1,а).

Во втором численном эксперименте растворенная в фильтрующейся воде соль оказывает влияние на фазовый переход и пористость. В верхнем слое толщиной 2 см пористость не уменьшалась, вода не замерзала. В нижних слоях снега пористость перестала изменяться, когда соленая вода распределилась по всему слою снега. Заметим, что концентрация соли в воде увеличивалась, так как в нижних слоях вода замерзала при меньшей температуре (см. рис. 3). Температура на поверхности слоя линейно увеличивалась, и снег начинал таять. Концентрация соли в воде начала уменьшаться (талая вода увеличивает водонасыщенность), а на дне сформировался слой с меньшей пористостью (см. рис. 1,б). Распределения водонасыщенности в двух численных экспериментах также различаются. Соленая вода в нижних слоях полностью не замерзала, при $t > 1500$ с водонасыщенность возрастала во всем слое снега (см. рис. 2,б).

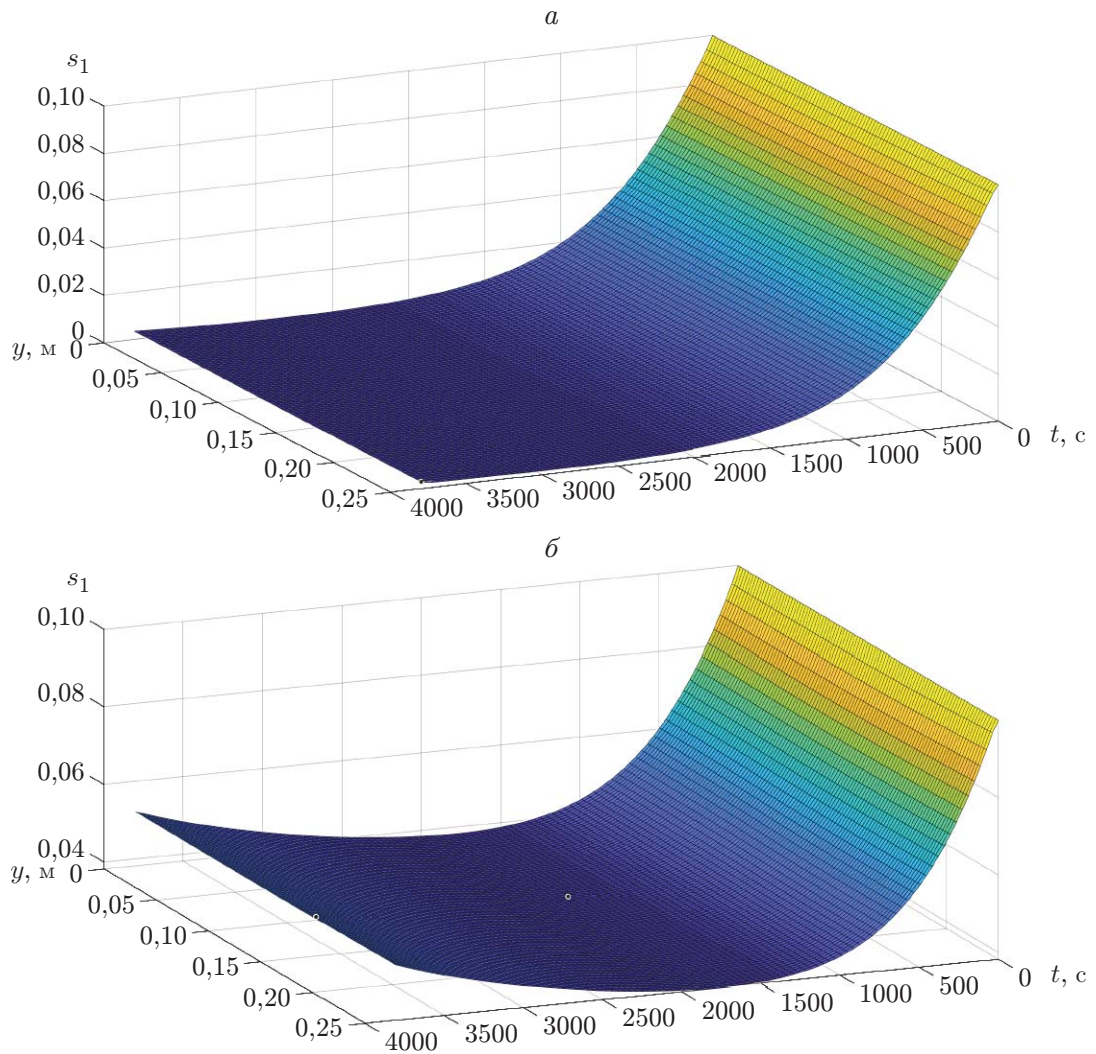


Рис. 2. Распределения водонасыщенности, полученные в численных эксперименте 1 (а) и эксперименте 2 (б)

Таким образом, результаты численных расчетов хорошо согласуются с результатами экспериментов. Предложенная математическая модель позволяет учитывать концентрационное переохлаждение воды. Следует отметить, что в численных экспериментах, описанных в работах [8, 10, 11], получены близкие результаты, но движение консервативной примеси (соли) в тающем снеге не учитывалось.

Устойчивость и порядок сходимости вычислительного алгоритма проверялись в вычислительных экспериментах с использованием известного правила Рунге [19, С. 75]: достаточно провести три расчета на сетках с шагами $h_1 = h$, $h_2 = h/2$, $h_3 = h/4$, $\tau_i = \lambda h_i$, $i = 1, 2, 3$, $h = 0,000\,01$, $\lambda = 100$. В численном эксперименте определялись водонасыщенность s , пористость, температура, давление и концентрация соли. В рассматриваемой задаче порядок сходимости $R \approx 1$, приближенно определяемая относительная погрешность $\varepsilon \approx 0,1\%$, что вполне приемлемо при решении практических задач.

Заключение. Предложена математическая модель движения примеси, растворенной в тающем снеге. В рамках полученной модели построен конечно-разностный алгоритм и выполнены численные эксперименты для одномерной задачи о фильтрации воды и воздуха

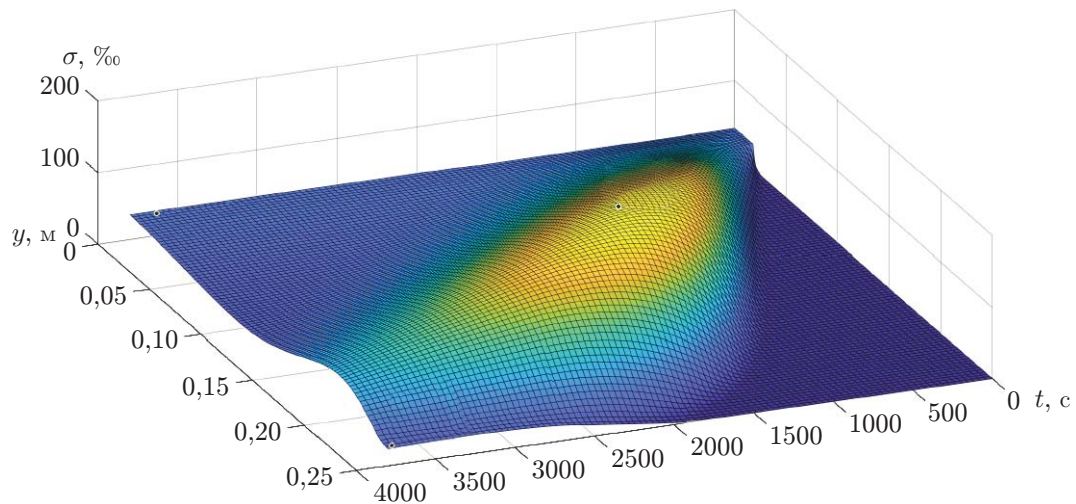


Рис. 3. Распределение концентрации соли, полученное в численном эксперименте 2

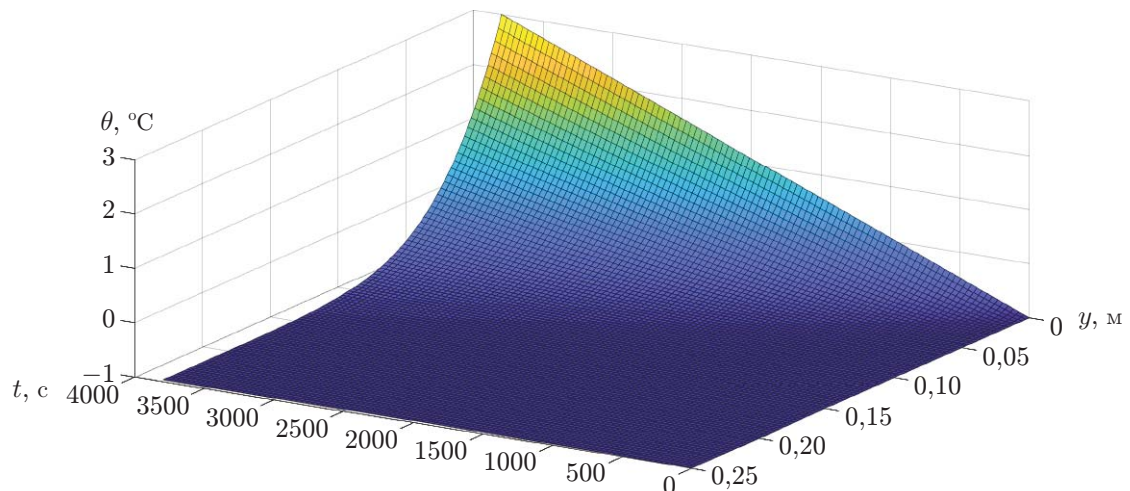


Рис. 4. Распределение температуры, полученное в численном эксперименте 2

в тающем снеге, исследовано изменение концентрации соли в тающем снеге. Численные расчеты позволили оценить влияние растворенной соли на фазовый переход. Результаты этих расчетов согласуются с экспериментальными данными. С использованием известных экспериментальных данных проведена верификация теплопроводности снега и эмпирической зависимости температуры замерзания от солености воды.

ЛИТЕРАТУРА

1. Papina T. S., Eirikh A. N., Malygina N. S., et al. Microelement and stable isotopic composition of snowpack in the Katunsky Biosphere Reserve (Altai Republic) // Ice Snow. 2018. V. 58, N 1. P. 41–55.
2. Wang Z., Zhang T., Shao M., et al. Investigation on snow-melting performance of asphalt mixtures incorporating with salt-storage aggregates // Construct. Build. Materials. 2017. V. 142. P. 187–198.

3. Meyer T., Wania F. Modeling the elution of organic chemicals from a melting homogeneous snow pack // Water Res. 2011. V. 45. P. 3627–3637.
4. Leroux N. R., Pomeroy J. W. A 2D model for simulating heterogeneous mass and energy fluxes through melting snowpacks // Cryosphere. Discuss.: Prepr. 2016. [Electron. resource]. Режим доступа: <https://doi.org/10.5194/tc-2016-55>.
5. Colbeck S. C. A theory of water percolation in snow // J. Glaciol. 1972. V. 11, N 63. P. 369–385.
6. Daanen R. P., Nieber J. L. Model for coupled liquid water flow and heat transport with phase change in a snowpack // J. Cold Regions Engng. 2009. V. 23, N 2. P. 43–68.
7. Папин А. А. Разрешимость модельной задачи тепломассопереноса в тающем снеге // ПМТФ. 2008. Т. 49, № 4. С. 13–23.
8. Alekseeva S. V., Sazhenkov S. A. Studying the model of air and water filtration in a melting or freezing snowpack // Bull. South Ural State Univ. Ser. Math. Model. Programm. Comput. Software. 2022. V. 15, N 2. P. 5–16.
9. Alekseeva S. V., Sazhenkov S. A. Numerical analysis of a one-dimensional model of a melting-freezing snowpack // J. Comput. Engng Math. 2021. V. 8, N 4. P. 17–27.
10. Papin A. A., Tokareva M. A. Problems of heat and mass transfer in the snow-ice cover // IOP Conf. Ser.: Earth Environ. Sci. 2018. V. 193. 012055.
11. Сибин А. Н., Папин А. А. Тепломассоперенос в тающем снеге // ПМТФ. 2021. Т. 62, № 1. С. 109–118.
12. Sibin A. N., Papin A. A. Water movement in melting snow // J. Phys.: Conf. Ser. 2021. V. 2057. 012030.
13. Waldner P. A., Schneebeli M., Schultze-Zimmermann U., Fluhler H. Effect of snow structure on water flow and solute transport // Hydrolog. Process. 2008. V. 18, N 7. P. 1271–1290.
14. Бэр Я. Физико-математические основы фильтрации воды / Я. Бэр, Д. Заславски, С. Ирмей. М.: Мир, 1971.
15. Angeli C., Leonardi E. A one-dimensional numerical study of the salt diffusion in a salinity-gradient solar pond // Intern. J. Heat Mass Transfer. 2004. V. 47. P. 1–10.
16. Колесников А. Г. К изменению математической формулировки задачи о промерзании грунта // Докл. АН СССР. 1952. Т. 82, № 6. С. 889–891.
17. Жумагулов Б. Т. Гидродинамика нефтедобычи / Б. Т. Жумагулов, В. Н. Монахов. Алматы: Каз. гос. ин-т науч.-техн. информ., 2001.
18. Коновалов А. Н. Задачи фильтрации многофазной несжимаемой жидкости. Новосибирск: Наука. Сиб. отд-ние, 1988.
19. Калиткин Н. Н. Численные методы. М.: Наука, 1978.
20. Павлов А. В. Теплофизика ландшафтов. Новосибирск: Наука. Сиб. отд-ние, 1979.
21. Кутателадзе С. С. Справочник по теплопередаче. М.: Госэнергоиздат, 1958.

Поступила в редакцию 29/V 2023 г.,
после доработки — 27/VII 2023 г.
Принята к публикации 4/VIII 2023 г.